

## تحلیل کمی و مورفولوژیکی نیمرخ طولی رودخانه‌های البرز شمالی در استان مازندران

رضا اسماعیلی\* - دانشیار ژئومورفولوژی، گروه جغرافیا، دانشکده علوم انسانی و اجتماعی، دانشگاه مازندران  
مریم صالحی- کارشناس ارشد ژئومورفولوژی، دانشگاه مازندران

تاریخ دریافت: ۱۳۹۸/۶/۲۵ تاریخ پذیرش: ۱۳۹۸/۶/۲۶

### چکیده

نیمرخ طولی رود یکی از مؤلفه‌های اساسی سیستم رودخانه‌ای است. در این تحقیق نیمرخ طولی ۱۵ رودخانه در البرز شمالی، که بخشی از حوضه آبریز دریای خزر هستند، بررسی شده‌اند. نخست، با استفاده از مدل ارتفاعی رقومی، با قدرت تفکیک ۱۲,۵ متر شبکه‌های رودخانه‌ای شناسایی و نیمرخ طولی آن‌ها ترسیم شد. شکل نیمرخ طولی رود با شاخص تغیر (CI) و شاخص SLK اندازه‌گیری شد. سپس، شاخص گرادیان طولی رود (SL) برای هر قطعه از نیمرخ طولی محاسبه شد و با استفاده از نقشه‌های سنگ‌شناسی و گسل‌ها تفسیر شد. نتایج نشان می‌دهد که شکل نیمرخ طولی رودخانه‌های البرز شمالی در دره‌های عرضی به صورت مقعر با چندین شکستگی است که بیانگر غلبة فرسایش در بلندمدت است. در دره‌های طولی البرز شمالی، نیمرخ طولی رودخانه‌ها به صورت محدب است که ناشی از ساختار چین خوردگی و بالاًمدگی سنگ‌هاست. بررسی شاخص SL نشان می‌دهد که عامل سنگ‌شناسی و گسل‌ها به ترتیب ۵۳ و ۴۵ درصد در ایجاد شکستگی در نیمرخ طولی این رودها نقش داشته‌اند. از مجموع ۹۸ خط گسلی، که به صورت عرضی رودخانه‌ها را قطع کرده‌اند، فقط بیست‌درصد آن‌ها موجب شکستگی در نیمرخ طولی رود شده‌اند. اثر گسل در نیمرخ طولی رودخانه‌های غرب و شرق استان مازندران به ترتیب ۷۰ و ۳۰ درصد بوده است.

واژگان کلیدی: البرز شمالی، شاخص تغیر، مازندران، نیمرخ طولی رود.

### مقدمه

سیستم رودخانه‌ای یک سیستم فرایند واکنش پیچیده است که متغیرهای مختلفی در کنترل آن نقش دارد. هرگونه تغییر در یکی از این متغیرها موجب پیچیدگی تغییرات و تعديل در سیستم رودخانه‌ای می‌شود (حسینزاده و اسماعیلی، ۱۳۹۴: ۱۷). نیمرخ طولی رود یکی از مؤلفه‌های اساسی در سیستم رودخانه‌ای است و به عنوان یک شاخص توپوگرافی کلیدی از روابط متقابل بین فروسایی رودخانه‌ای، لیتوژوژی، تکتونیک، و تغییرات سطح اساس ایجاد می‌شود و تعادل بلندمدت سیستم را نشان می‌دهد (لارو، ۲۰۰۸: ۳۴۳). در مطالعات ژئومورفولوژی، نیمرخ طولی رود به عنوان معیاری برای تشخیص مرحله تکامل چشم‌انداز، بالاًمدگی تکتونیکی یا فرونژینی، تغییرات در مقاومت سنگ‌ها، تغییرات سطح اساس، و اثرهای اقلیم و یا سایر تغییرات محیطی در چشم‌انداز است (فیلیپس و لوتز، ۲۰۰۸: ۵۵۶). نیمرخ طولی رودخانه‌هایی که در حالت تعادل قرار دارند به شکل مقعر است، اما عوامل مختلفی موجب تغییر نیمرخ طولی رود می‌شوند؛ از جمله: فروسایی رود؛ تغییرات مقاومت سنگ شناسی؛ عوامل ساختاری؛ ورود بار رسوبی فراوان از زیرشاخه‌ها؛ اثرهای بار بسته؛ تغییرات انسانی؛ و زمان ناکافی برای تعديل آشتفتگی‌ها (فیلیپس و لوتز، ۲۰۰۸: ۵۵۶).

وقوع این ناهنجاری‌ها بهویژه اگر ناشی از عوامل تکتونیکی یا مقاومت لیتوژوژیکی باشد می‌تواند موجب تغییرات

ناگهانی (شکستگی<sup>۱</sup> شیب) در گرادیان طولی رود شود و به صورت تندابها و آیشارها مشاهده شود (فراریس و همکاران، ۲۰۱۲: ۳۲). گرادیان طولی رود نشان‌دهنده تغییرات قدرت رود در امتداد کانال است و به تغییرات شیب کانال بسیار حساس است (گیاکونیا و همکاران، ۲۰۱۲: ۹۶) و یک متغیر مهم برای حمل رسوب یا فرسایش بستر رود محسوب می‌شود (تروینی و دلاستا، ۲۰۰۸: ۱۶۳). فرسایش بستر رود هم موجب فرسایی کانال، انحراف رود، فرسایش رو به بالادست رود، و فرایندهای جوان‌شدنی در بالادست یا پایین‌دست رود می‌شود (گیاکونیا و همکاران، ۲۰۱۲: ۹۰). از این‌رو، نیمرخ طولی رود پارامتر مهمی در درک تغییرپذیری فرایندهای ژئومورفیک است (ویکرانت جین، ۲۰۱۸: ۲۶).

در سال‌های اخیر مطالعات متعددی در زمینه بررسی شاخص گرادیان طولی با استفاده از مدل ارتفاعی رقومی (DEM) رود انجام شده است که از این میان می‌توان به تحقیقات پدررا و همکاران (۲۰۰۹)، فونت و همکاران (۲۰۱۰)، پرزپنا و همکاران (۲۰۱۰)، فراریس و همکاران (۲۰۱۲)، وجتکو و همکاران (۲۰۱۲)، کاله و همکاران (۲۰۱۳)، گائو و همکاران (۲۰۱۳)، آمبیلی و نارایانا (۲۰۱۴)، آتون و همکاران (۲۰۱۴)، زیرت و زیرت (۲۰۱۷)، مارتینز و همکاران (۲۰۱۷)، و ویکرانت جین (۲۰۱۸) اشاره کرد.

در مناطق مختلف ایران هم تحقیقات بسیاری درباره اثرهای تکتونیک در نیمرخ طولی رودخانه‌ها انجام شده است که از جمله آن‌ها می‌توان به تحقیقات انجام‌شده در زون البرز (اسماعیلی و همکاران، ۱۳۹۱؛ گورابی و کیارستمی، ۱۳۹۴؛ مهریویان و همکاران، ۱۳۹۶)، منطقه آذربایجان (بیاتی خطیبی، ۱۳۸۸؛ روستایی و نیری، ۱۳۹۰؛ مقصودی و همکاران، ۱۳۹۴)، کوههای زاگرس (سیف و خسروی، ۱۳۸۹؛ کریمی و همکاران، ۱۳۹۱؛ عباسی همکاران، ۱۳۹۱؛ کریمی و همکاران، ۱۳۹۵؛ مقصودی و همکاران، ۱۳۹۶؛ فنوایی و همکاران، ۱۳۹۶)، و کوههای خراسان (گوهري و همکاران، ۱۳۹۳؛ جمال‌آبادی و همکاران، ۱۳۹۵) اشاره کرد. در بیشتر این مطالعات، نیمرخ طولی رود با استفاده از شاخص گرادیان طولی رود (SL) در یک حوضه آبریز بررسی و تحلیل شده است.

کوههای البرز یکی از واحدهای ژئومورفولوژیک ایران محسوب می‌شوند که ویژگی‌های لیتلولوژیکی، اقلیمی، و پوشش گیاهی سیمای جغرافیایی متفاوتی را در آن به وجود آورده است. در این مطالعه نیمرخ طولی رودخانه‌های البرز شمالی (استان مازندران)، که بخشی از حوضه آبریز دریای خزر محسوب می‌شوند، بررسی شده است. هدف از این تحقیق، تحلیل کمی و بررسی تغییرات نیمرخ طولی رودخانه‌ها در منطقه بوده است.

## منطقه مورد مطالعه

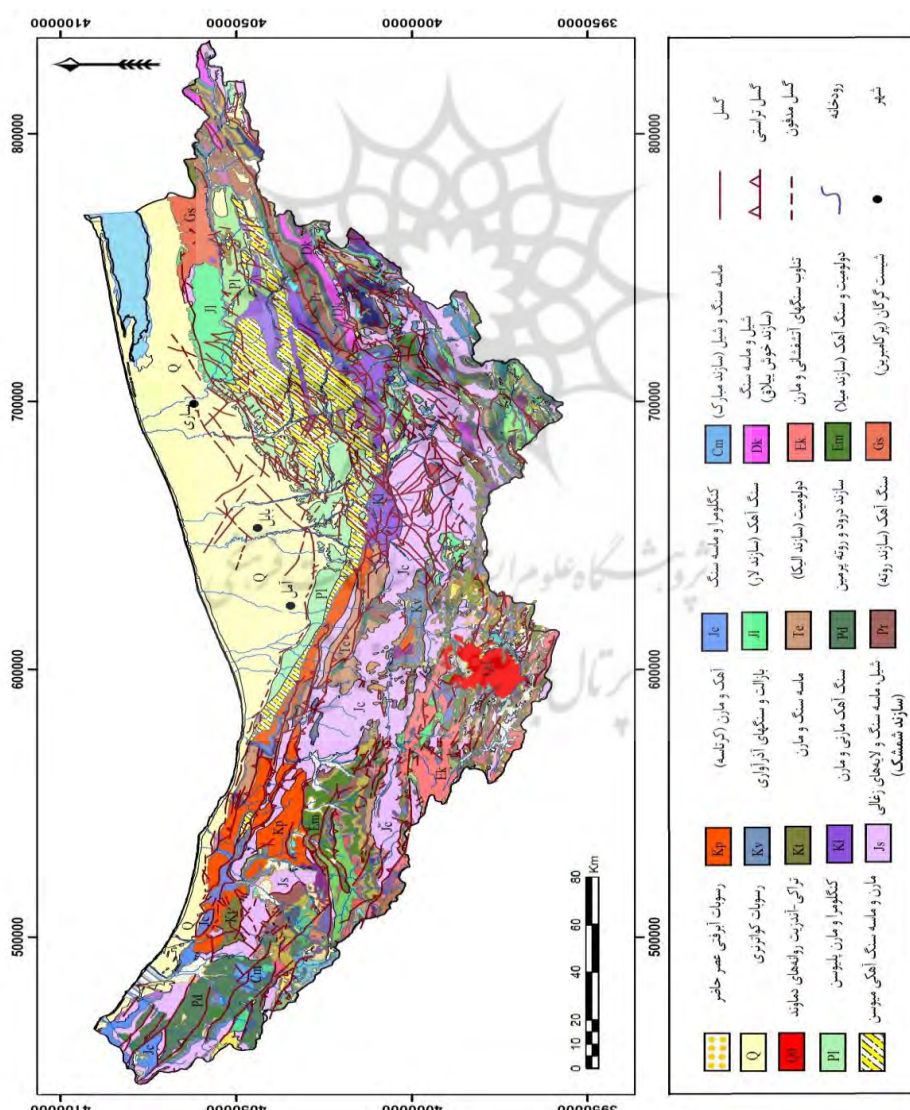
کوههای البرز در شمال ایران و جنوب دریاچه خزر رشته‌غربی-شرقی نسبتاً پیچ‌وخم‌داری را تشکیل می‌دهند. از نظر زمین‌شناسی، محدوده مورد مطالعه بخشی از زون زمین‌ساختی البرز است. ساختمان البرز در نتیجهٔ دو کوهزایی مهم پرکامبرین و آلپی (دوران مزوژوئیک و سنوزوئیک) به وجود آمده است (درویش‌زاده، ۱۳۷۰: ۲۴۴). اولین حرکات واقعی که به چین‌خوردگی البرز منجر شد در ماستریشتن پایانی و پالئوسن (فاز لارامید) اتفاق افتاد و در آن محدوده‌های فرورفنگی کاسپین در شمال به خشکی مبدل شد و موجب تشکیل کوههای البرز در اوایل سنوزوئیک گردید. دومین فاز کوهزایی در اوایل - اواسط الیگوسن (فاز پیرنه) اتفاق افتاده است. پیامد این حرکات گسل‌خوردگی‌های روراندگی‌های ملایم، و مرتفع‌شدن البرز بوده است (درویش‌زاده، ۱۳۷۰: ۲۴۴). از جمله مهم‌ترین گسل‌های منطقه می‌توان به گسل شمالی البرز

1. Knickpoint (Nickpoint in US)

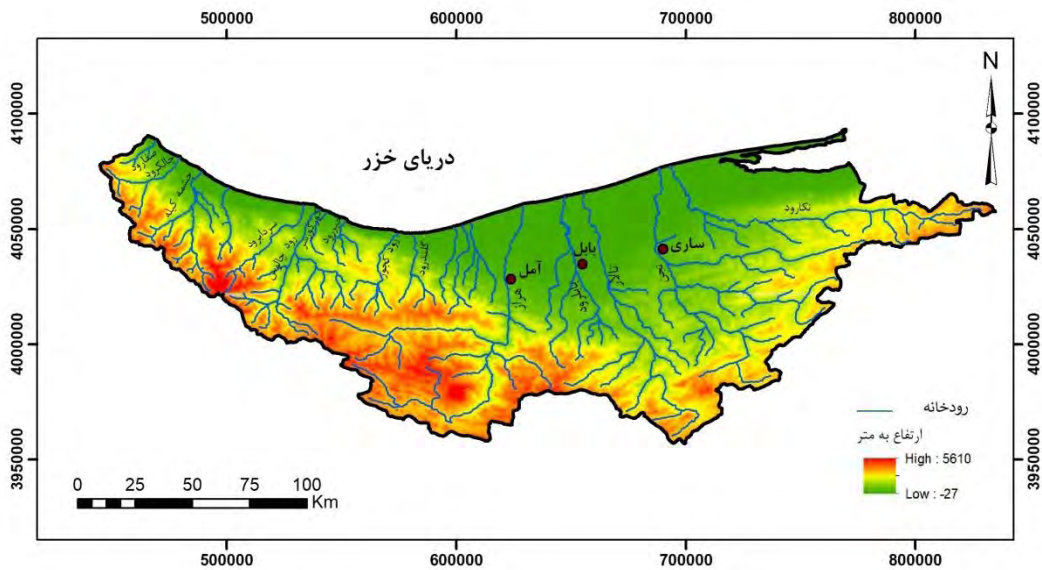
و گسل خزر اشاره کرد. این دو گسل به موازت هم است و از گنبد کاووس تا لاهیجان امتداد دارد و از ناحیه چالوس به هم می‌رسند و تا لاهیجان ادامه می‌یابند (شیخ‌الاسلامی و همکاران، ۱۳۹۳: ۲۹۴).

پیشوی‌ها و پسروی‌های دریاها و نوسان کف آن‌ها موجب تشکیل ردیف‌های چینه‌شناسی مهم و متنوعی در البرز شده است. این چینه‌ها عمدتاً از رسوب‌های تخریبی ریزدانه مانند شیل، رس به همراه ماسه‌سنگ، آهک، و دولومیت تشکیل شده‌اند (علائی طالقانی، ۱۳۹۴: ۱۰۵). شکل ۱ مهم‌ترین واحدهای سنگ‌شناسی و گسل‌ها در حوضه‌های آبریز استان مازندران نشان می‌دهد.

از نظر هیدرولوژیکی، حوضه‌های رودخانه‌ای البرز شمالی بخشی از حوضه آبریز دریای خزر هستند و نوسانات آب دریای خزر به عنوان سطح اساس این رودها تأثیر زیادی در روند تکاملی این حوضه‌ها داشته است. در این تحقیق نیمرخ طولی رودخانه‌های البرز شمالی در محدوده استان مازندران بررسی شده است. شکل ۲ موقعیت رودخانه‌های مورد مطالعه را نشان می‌دهد.



شکل ۱. نقشه زمین‌شناسی حوضه‌های مورد مطالعه در استان مازندران



شکل ۲. موقعیت رودخانه‌های مورد مطالعه در البرز شمالی (استان مازندران)

## مواد و روش‌ها

برای اجرای این تحقیق ۱۵ رودخانه اصلی در البرز شمالی بررسی شد (شکل ۲). مسیر رودخانه‌ها و نیمرخ طولی آن‌ها در نرم‌افزار Arc GIS 10.3 و با استفاده از مدل ارتفاعی رقومی (DEM) با قدرت تفکیک ۱۲,۵ متر (دانلودشده از سایت [Arc GIS](http://vertex.daac.asf.alaska.edu/)) ترسیم شد. نخست با استفاده از ابزار هیدرولوژی در نرم‌افزار [Arc GIS](http://vertex.daac.asf.alaska.edu/) و دستور Fill خطاهای پیکسل رفع و سپس مسیر جریان تجمعی (رود) مشخص گردید و پس از آن مسیر رود به صورت رقومی ترسیم شد. لیتوولوژی حوضه‌ها و پراکنش گسل‌ها از نقشه‌های زمین‌شناسی با مقیاس ۱:۱۰۰۰۰۰ استخراج شد. برای تحلیل مورفولوژی نیمرخ طولی رود از شاخص‌های SLK و CI<sup>1</sup> و برای تحلیل تغییرات در نیمرخ طولی رود از شاخص گرادیان طولی رود (SL) استفاده شده است که در ادامه تشریح می‌شوند.

### شاخص تقر (CI)

شاخص تقر براساس انحرافات مقادیر نیمرخ طولی از مقادیر خط مستقیم (رگرسیون) محاسبه می‌شود (فیلیپس و لوتز، ۲۰۰۸: ۵۵۷).

$$CI = \sum (H_i^* - H_i) \quad (1)$$

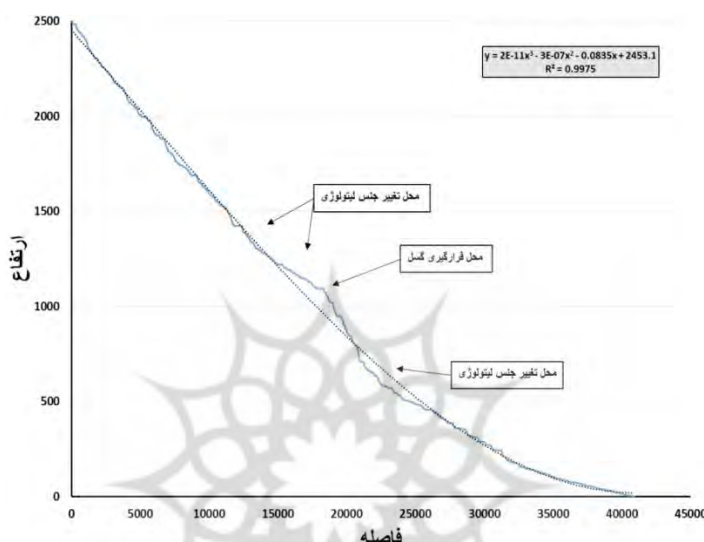
که  $H_i$  مقادیر ارتفاع در فواصل مختلف،  $H_i^*$  مقادیر ارتفاع در امتداد خط مستقیم از بالادست تا پایین‌دست رودخانه در فاصله افقی  $i$  است و  $N$  نیز تعداد کل نقاط اندازه‌گیری شده است. در این روش، نخست بهترین برازش خط رگرسیون با بیشترین مقدار  $R^2$  برای نیمرخ رودخانه محاسبه می‌شود (شکل ۳). سپس، با انتخاب تعدادی از نقاط بر روی نیمرخ رودخانه و معادل آن در خط رگرسیون اختلاف این مقادیر محاسبه می‌شود و براساس رابطه ۱ ضربت تقر  $CI$  به‌دست می‌آید. در این شاخص مقادیر منفی نشان‌دهنده تحدب و مقادیر بالای صفر نشان‌دهنده تقر نیمرخ طولی است. مقدار تقر نسبی یک نیمرخ به‌وسیله  $H_{max}$  و براساس رابطه ۲ زیر بدست می‌آید (فیلیپس و لوتز، ۲۰۰۸: ۵۵۷):

1. Concavity Index

$$CI_r = CI / (H_{max} / 2) \quad (2)$$

مقدار تقریبی بین ۱ و -۱ متغیر است و مقدار صفر نشان‌دهنده خط مستقیم است.

هووبوس<sup>۱</sup> (۲۰۰۰) براساس میزان بالاًمدگی و بارش ماهانه (به عنوان شاخص فرسایش) مورفولوژی نیمرخ طولی رود را به سه دسته تقسیم‌بندی کرد: نیمرخ مقعر که نشان‌دهنده تعادل بلندمدت بین میزان بالاًمدگی و فرسایش است؛ نیمرخ مقرر-محدب با پله‌های فرسایشی در نیمرخ که نشان‌دهنده غلبه طولانی‌مدت فرایندهای فرسایشی است؛ و نیمرخ محدب برای مناطقی است که بالاًمدگی (تکتونیک فعال) دارند (پرزپنا و همکاران، ۲۰۱۰: ۸۰).



شکل ۳. محاسبه شاخص تقریبی (CI) در نیمرخ طولی رودخانه چالکرود

### شاخص گرادیان طولی رود یا $SL^2$

شاخص گرادیان طولی رود (SL) یک ابزار عملی برای اندازه‌گیری انحرافات در امتداد نیمرخ طولی رود است (ترویانی و دلاستا، ۲۰۰۸: ۱۶۳). محاسبه SL (شاخص گرادیان شیب) با استفاده از رابطه ۳، که هک (۱۹۷۳) آن را ارائه کرد، قابل محاسبه است (فونت و همکاران، ۲۰۱۰: ۱۷۶):

$$SL = (\Delta H / \Delta L) L_{tc} \quad (3)$$

که  $\Delta H$  اختلاف ارتفاع در یک قطعه،  $\Delta L$  طول قطعه، و  $L_{tc}$  طول کanal از نقطه میانی قطعه تا رأس نیمرخ رود است. برای هر حوضه خطوط منحنی میزان ۵۰ متر، که از مدل ارتفاعی رقومی ۱۲,۵ متر استخراج شد، برای اختلاف ارتفاع ( $\Delta H$ ) استفاده شد. سپس، فاصله افقی بین دو منحنی تراز ( $\Delta L$ ) اندازه‌گیری شد و نقاط میانی آن‌ها مشخص گردید. پس از اندازه‌گیری طول رود از نقطه میانی تا خط الرأس ( $L_{tc}$ ) مقادیر SL برای هر قطعه از رودخانه محاسبه شد.

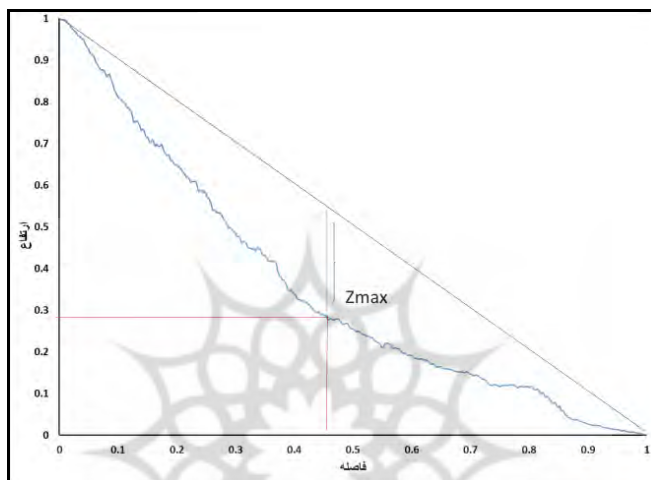
### شاخص گرادیان طولی نرمال‌شده $SLK$

به منظور مقایسه مقادیر SL رودخانه‌ها با طول‌های مختلف نیاز به نرمال‌سازی مقادیر است. برای نرمال‌سازی مقادیر

1. Hovius

2. stream length

(SLK)، در محور افقی نمودار، فواصل نرمال شده به صورت  $d/D$  نمایش داده می‌شود که  $d$  فاصله نقاط خاص در امتداد نیمرخ طولی و  $D$  طول کل نیمرخ رود است. در محور عمودی ارتفاع نرمال شده ( $e/E$ ) نشان داده می‌شود که  $e$  ارتفاع نقاط خاص در امتداد نیمرخ طولی رود و  $E$  اختلاف ارتفاع بین ابتدا و انتهای نیمرخ طولی است (وجتكو و همکاران، ۲۰۱۲: ۲۸۲). با این نرمال‌سازی می‌توان شاخص SLK را بین رودخانه‌هایی با طول‌های مختلف مقایسه کرد (پدررا و همکاران، ۲۰۰۹: ۲۴). پس از نرمال‌سازی داده‌ها برای به دست آوردن شاخص تقریر SLK، بیشترین میزان تقریر نیمرخ رودخانه نسبت به خط مستقیم، که دو سر نمودار را به هم وصل می‌کند، محاسبه شد و مختصات آن مشخص گردید که اختلاف ارتفاع بین بیشترین تقریر رودخانه و خط مستقیم است (شکل ۴).



شکل ۴. ترسیم نیمرخ طولی SLK و محاسبه مقدار  $Z$

#### یافته‌های تحقیق شکل نیمرخ طولی رود

شاخص تقریر (CI) برای نیمرخ طولی ۱۵ رودخانه در البرز شمالی محاسبه شد. در همه موارد خط بهترین برازش ( $R^2$ ) با معادلات چندجمله‌ای درجه ۲، ۳، و ۴ تطبیق داشته است و مقدار ضریب تعیین این معادلات رگرسیونی بسیار بالا ( $>0,96$ ) بوده است. نتایج شاخص تقریر نشان می‌دهد که تعدادی از رودخانه‌ها مانند خیررود، کجور، و نور با ضریب تقریر بهترتب ۴-۱۱ و ۴-۷ نیمرخ محدب دارند و تعدادی از رودخانه‌های دیگر مانند تجن، بابل، سردار رود، و چالکرود با مقادیر بهترتب ۸، ۹، ۷,۵ و ۸ ضریب تقریر بیشتری نسبت به سایر رودخانه‌ها داشته‌اند (جدول ۱). شاخص نیز CI<sub>r</sub> شاخص تقریر نسبی است که از بیشترین میزان تقریر در هر نیمرخ به دست آمده است. شاخص تقریر نسبی رودخانه‌های خیررود و کجور و نور نیز بهترتب ۰,۰۸ و ۰,۰۱۳ و ۰,۷۳- است که نشان دهنده تحبد نیمرخ طولی این رودها است و بیشترین تقریر نسبی را رودخانه‌های بابل و چالوس و صفارود با مقادیر بهترتب ۰,۳۳، ۰,۰۳۵ و ۰,۳۵ داشته‌اند.

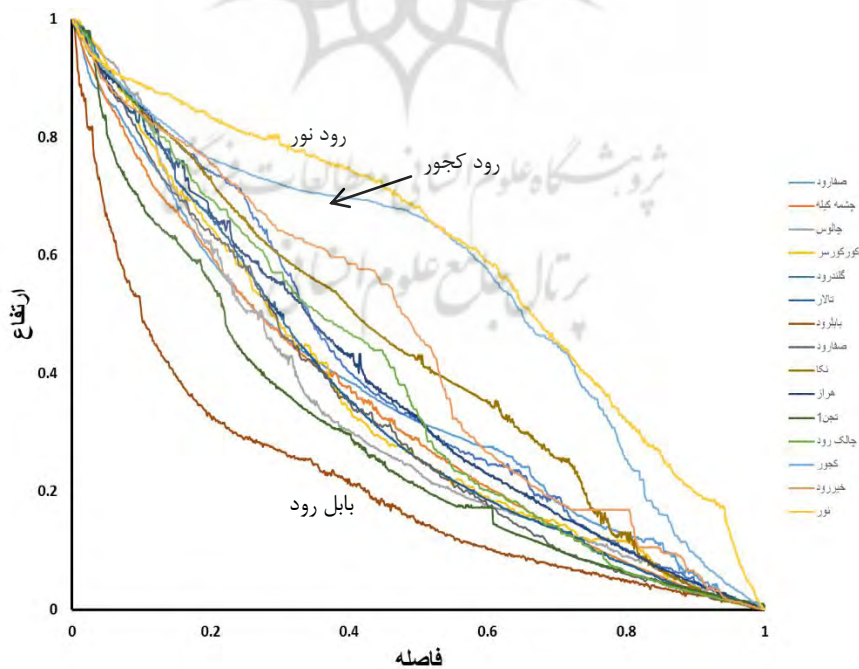
نتایج به دست آمده از شاخص SLK، که نیمرخ طولی رودخانه‌های مورد مطالعه را به صورت بی‌بعد شده مقایسه می‌کند (شکل ۵)، به این صورت است که رودخانه‌های کجور و نور با داشتن ضریب تقریر منفی (بهترتب ۰,۱۷ و ۰,۱۴-) دارای نیمرخ طولی محدب‌اند. این حداکثر تحبد در رودخانه کجور در مختصات ۰,۵۲، ۰،۵۲ ارتفاع و در رودخانه نور در مختصات ۰,۰۶، ۰،۷۱ ارتفاع قرار دارد. رودخانه بابل‌رود با تقریر ۰,۴۷ بیشترین تقریر را در میان رودخانه‌های مورد

مطالعه داراست که این تقریب در مختصات  $2^{\circ}, 3^{\circ}, 33^{\circ}$  فاصله و  $0^{\circ}, 2^{\circ}, 3^{\circ}$  ارتفاع قرار دارد. سایر رودها نیز تقریبی بین  $2^{\circ}, 3^{\circ}, 33^{\circ}$  داشته‌اند (جدول ۲).

جدول ۱. مشخصات رودخانه‌های مورد مطالعه در البرز شمالی و مقادیر شاخص تقریب آن‌ها

نام رود	مساحت حوضه (کیلومتر مربع)	ارتفاع (متر)	اختلاف طول رود (کیلومتر)	CI	CI <sub>rel</sub>	بهترین برازش* با $R^2$ مقدار
صفارود	۱۷۰	۱۶۸۸	۱۸	۷	.۳۵	poly3: ۰,۹۹
چالک‌رود	۴۲۶	۲۲۹۴	۴۰,۸	۸	.۱۶	poly3: ۰,۹۹
چشمک‌کله	۱۰۴۵	۳۲۸۲	۶۴	۳	.۰۸	poly3: ۰,۹۹
سرداب‌رود	۴۶۲	۳۵۸۵	۶۱,۳	۹	.۲۲	poly3: ۰,۹۹
چالوس	۱۶۹۰	۲۶۰۲	۷۲,۹	۱,۵	.۳۳	poly3: ۰,۹۹
کورکورسر	۷۷	۱۲۲۴	۱۷,۱	۲,۵	.۱۲	poly3: ۰,۹۹
خیررود	۲۴۲	۱۷۷۷	۲۵,۸	-۴	-۰,۰۸	poly4: ۰,۹۹
کجور	۵۱۴	۲۰۸۸	۴۵,۱	-۴	-۰,۱۳	Poly4: ۰,۹۹
گلنرود	۳۵۱	۱۸۳۵	۳۲,۵	۴	.۱	poly3: ۰,۹۹
نور	۱۲۹۲	۱۶۵۷	۷۱,۳	-۱۱	-۰,۷۳	poly3: ۰,۹۹
هراز	۳۳۷۹	۱۸۷۵	۱۰۴,۵	۳	.۱	poly2: ۰,۹۹
بابل	۱۶۹۰	۷۸۴	۴۴,۷	۷,۵	.۳	poly3: ۰,۹۶
تالار	۲۸۵۲	۲۳۱۳	۱۱۹,۸	۳	.۱۲	poly3: ۰,۹۹
تجن	۴۳۱۳	۲۶۲۳	۱۱۶,۵	۸	.۰۱۳	poly4: ۰,۹۹
نکا	۲۲۷۲	۲۵۳۹	۱۶۲,۲	۶	.۱۲	poly3: ۰,۹۶

\* ستون مذکور نشان‌دهنده خط بهترین برازش رگرسیون است که به صورت چندجمله‌ای ۱ و ۲ و ۳ و ۴ بیان شده است



شکل ۵. نیمرخ طولی بی‌بعد (SLK) رودخانه‌های البرز شمالی

جدول ۲. مقادیر شاخص SLK و خوشبندی نیمرخ طولی رودخانه‌های البرز شمالی

نام رودخانه	میزان تقدیر SLK	مختصات در فاصله	مختصات در ارتفاع	خوشبندی
صفارود	۰,۲۵	۰,۳۹	۰,۳۶	۱
چالکرود	۰,۲۱	۰,۵۵	۰,۲۴	۱
چشمکیله	۰,۲۴	۰,۳۶	۰,۴	۱
سرداب‌رود	۰,۲۲	۰,۳۲	۰,۴۴	۱
چالوس	۰,۳	۰,۳۸	۰,۳۲	۱
کورکورسر	۰,۲۸	۰,۴۶	۰,۲۸	۱
خیررود	۰,۱۳	۰,۶	۰,۲۷	۱
کجور	-۰,۱۷	۰,۵۲	۰,۶۵	۲
گلندرود	۰,۲	۰,۴	۰,۴	۱
نور	-۰,۱۴	۰,۶۱	۰,۷۱	۲
هراز	۰,۱۸	۰,۴۶	۰,۳۶	۱
بابل	۰,۴۷	۰,۲	۰,۳۳	۱
تالار	۰,۳۵	۰,۴۴	۰,۳۱	۱
تجن	۰,۳۲	۰,۳۶	۰,۳۴	۱
نکا	۰,۱	۰,۳	۰,۶	۳

با توجه به ضریب همبستگی خوب (۰,۷۳) بین شاخص SLK با شاخص CI، از شاخص SLK به عنوان نماینده میزان تقدیر برای خوشبندی استفاده شده است. از این‌رو، براساس میزان تقدیر نیمرخ طولی رودخانه‌ها و موقعیت قرارگیری حداکثر تقدیر، رودخانه‌های مورد مطالعه در سه گروه تقسیم‌بندی شدند (جدول ۲): خوشة اول شامل رودخانه‌هایی می‌شود که میزان تقدیر آن‌ها بین ۰,۱۳ تا ۰,۴۷ بوده و حداکثر تقدیر در چارک دوم نیمرخ طولی قرار گرفته است. در صد رودخانه‌ها در این گروه قرار گرفته و همه آن‌ها در دره‌های عرضی قرار گرفته‌اند. در خوشة دوم مقادیر تقدیر منفی بوده؛ یعنی نیمرخ طولی این رودخانه‌ها حالت تحدب دارد و حداکثر تحدب در چارک سوم قرار گرفته است. رودخانه‌های نور و کجور، که در دره‌های طولی قرار گرفته‌اند، در این گروه قرار می‌گیرند. خوشة سوم در این گروه میزان تقدیر کمتر از ۰,۱ بوده و حداکثر تقدیر در چارک دوم نیمرخ قرار دارد. رودخانه نکا، که بیشتر مسیر آن در دره طولی با جهت شرقی- غربی است، در این گروه قرار گرفته است.

### تحلیل گرادیان طولی رود (SL)

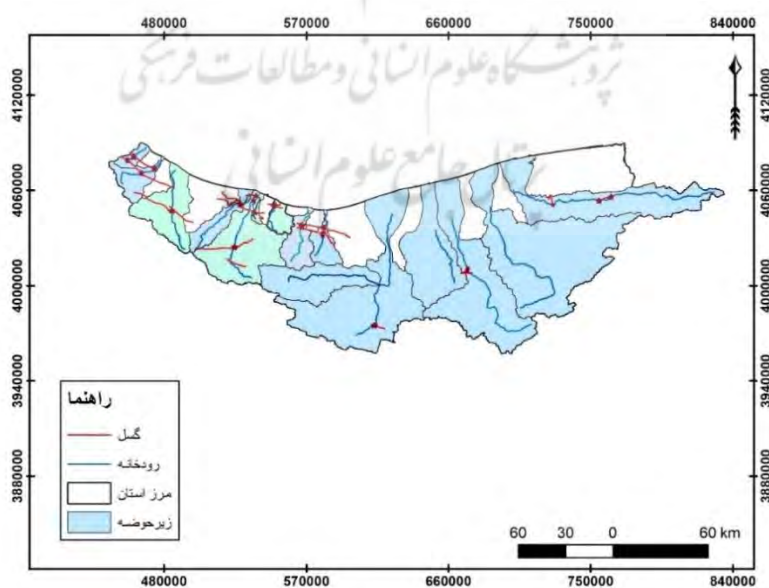
در هر یک از نیمرخ‌های طولی رودخانه‌ها مقادیر SL در قطعات مختلف محاسبه شد. بیشترین و کمترین مقدار میانگین SL به ترتیب مربوط به رودخانه‌های کجور و بابل است (جدول ۳). تغییرات مقادیر SL و شکستگی‌های نیمرخ طولی رود براساس سه عامل تکتونیکی، سنگ‌شناسی، و انسانی بررسی شدند. تعداد کل شکستگی‌های بزرگ در نیمرخ طولی رودخانه‌های البرز شمالی ۴۵ مورد بوده است که از این تعداد ۲۰، ۲۴، و ۱ مورد به ترتیب ناشی از اثرهای تکتونیکی، سنگ‌شناسی، و سد بوده است.

در مجموع، ۹۸ خط گسلی از رودخانه‌ها در محدوده مورد مطالعه عبور کرده‌اند که از این تعداد فقط ۲۰ مورد موجب ایجاد شکستگی و تغییر شیب شده‌اند. حدود ۷۰ درصد شکستگی‌های ناشی از گسل در رودخانه‌های غرب مازندران (رامسر تا نور) ایجاد شده‌اند (شکل ۶ و جدول ۴). ولی این تأثیر در رودخانه‌های شرق استان به میزان کمتری بوده و فقط

۳۰ درصد از کل شکستگی‌های ناشی از گسل را شامل می‌شود. از جمله حوضه‌هایی که تحت تأثیر گسل‌های اصلی مانند البرز و خزر بوده‌اند می‌توان به گلنرود، کجور، خیررود، سردابرود، صفارود، و چالوس اشاره کرد. بخشی از حوضه‌هایی مانند چالوس و چشمکیله تحت تأثیر گسل‌های محلی هم قرار گرفته‌اند.

جدول ۳. مقادیر SL رودخانه‌های البرز شمالی و تعداد و منشأ شکستگی‌ها در نیمرخ طولی آن‌ها

نام رودخانه	حداقل SL	میانگین SL	حداقل SL	تعداد شکستگی در نیمرخ	تعداد گسل	نشی از گسل	شکستگی ناشی از لیتولوژی
صفارود	۲۰	۵۷۳	۱۷۳۲	۴	۳	۲	۲
چالکرود	۲۰۵	۱۱۰۴	۴۰۰۳	۴	۱۰	۱	۳
چشمکیله	۱۶۰	۹۷۵	۱۸۸۵	۲	۴	۲	.
سردابرود	۲۰	۱۳۱۰	۵۸۳۹	۴	۸	۲	۲
چالوس	۲۶	۱۰۲۱	۲۵۹۹	۵	۹	۲	۳
کورکورسر	۱۲	۵۰۳	۱۳۸۰	۳	۳	۱	۲
خیررود	۱۴	۱۳۹۳	۸۹۸۹	۳	۲	۲	۱
کجور	۱۹۰۵	۲۰۸۰	۱۹۵۵۲	۲	۴	۱	۱
گلنرود	۱۸	۷۷۶	۱۸۱۱	۲	۲	۱	۱
نور	۱۰	۱۶۷۲	۷۱۱۹	۱	۱	۰	۱
هراز	۱۳	۶۸۷	۱۵۰۶	۳	۳	۱	۲
بابل	۱۷۰۵	۱۵۴	۲۴۳	۲	۵	۰	۲
تalar	۷	۷۹۷	۱۵۲۸	۲	۱۷	۱	۱
تجن	۱۱۰۵	۸۷۰	۳۴۷۴	۳	۱۳	۰	۲
نکا	۲۰	۱۲۵۵	۶۹۹۹	۵	۱۴	۴	۱
مجموع	-	-	-	۴۵	۹۸	۲۰	۲۴



شکل ۶. نقشه گسل‌های تأثیرگذار در نیمرخ طولی رودهای البرز شمالی (استان مازندران)

جدول ۴. منشاً شکستگی‌های رودخانه‌های مورد مطالعه استان مازندران

نیمرخ طولی	تعداد شکستگی در	انسانی (سد)	گسل	لیتولوژی	منشاً شکستگی	
					فرآواني	تعداد
۴۵	۱		۲۰	۲۴	کل	
۱۰۰	۲		۴۴	۵۳	(استان مازندران)	درصد
۲۹	-		۱۴	۱۵	غرب	تعداد
۶۵	-		۳۱	۳۳	(از صفارود تا گلندرود)	درصد
۱۶	۱		۶	۹	شرق	تعداد
۲۵	۲		۱۳	۲۰	(از هراز تا نکا)	درصد

عامل سنگ‌شناسی در ۵۳درصد موارد موجب تغییر در گرادیان طولی رود و مقادیر SL در منطقه شده است که ۳۳درصد در قسمت غربی و ۲۰درصد در قسمت شرقی البرز شمالی وجود داشته‌اند. برای بررسی بیشتر میزان تأثیرات لیتولوژی در نیمرخ طولی رودها از تحلیل‌های آماری استفاده شده است. با توجه به تنوع لیتولوژیکی (بیش از ۳ نوع سنگ) برای داده‌هایی که دارای توزیع نرمال بوده‌اند، از روش آنالیز واریانس و برای داده‌های فاقد توزیع نرمال از روش کروسکال والیس استفاده شده است و فرضیات صفر و تحقیق به صورت زیر مطرح شدند:

$H_0$ : گرادیان طولی رود (مقادیر SL) در لیتولوژی‌های مختلف تفاوتی ندارد.

$H_1$ : گرادیان طولی رود (مقادیر SL) در لیتولوژی‌های مختلف متفاوت است.

نتایج آزمون آماری نشان می‌دهد که در حوضه‌های صفارود، چشمکله، سرداب‌رود، چالوس، نور، هراز، تالار، و نکا مقدار sig کمتر از ۰,۰۵ بوده و فرضیه صفر رد شده (جدول ۵) و نشان‌دهنده تفاوت معنی‌داری بین مقادیر SL در لیتولوژی‌های مختلف است. یعنی لیتولوژی در شکل‌گیری نیمرخ طولی رودخانه تأثیرگذار بوده است. اما در رودخانه‌های چالک‌رود، کورکورسر، خیررود، کجور، گلندرود، بابل، و تجن تفاوت معنی‌داری بین SL در لیتولوژی‌های مختلف وجود ندارد و نمی‌توان تغییرات در نیمرخ طولی رود را به تغییرات لیتولوژی نسبت داد.

اثرهای عامل انسانی در شاخص گرادیان طولی رود فقط یک مورد (۲درصد) بوده که ناشی از وجود سد شهید رجایی بر روی رودخانه تجن (ساری) بوده است.

جدول ۵. نتایج آزمون آماری در تفاوت مقادیر SL در لیتولوژی‌های مختلف در رودخانه‌های البرز شمالی

رودخانه	تعداد نمونه	sig	نتیجه
صفارود	۳۴	۰,۰۰۱	رد فرضیه $H_0$
چالک‌رود	۵۰	۰,۱۷	تأثید فرضیه $H_0$
چشمکله	۶۶	۰,۰۰	رد فرضیه $H_0$
سردان‌رود	۷۲	۰,۰۰۵	رد فرضیه $H_0$
چالوس	۵۲	۰,۳۵	تأثید فرضیه $H_0$
کورکورسر	۲۵	۰,۷	تأثید فرضیه $H_0$
خیررود	۳۵	۰,۶	تأثید فرضیه $H_0$
کجور	۴۱	۰,۳۶	تأثید فرضیه $H_0$
گلندرود	۳۷	۰,۱۷	تأثید فرضیه $H_0$
نور	۳۴	۰,۰۰۸	رد فرضیه $H_0$
هراز	۳۸	۰,۰۴	رد فرضیه $H_0$
بابل	۱۶	۰,۰۸	رد فرضیه $H_0$
تالار	۴۷	۰,۰۰۲	رد فرضیه $H_0$
تجن	۵۲	۰,۱۳	تأثید فرضیه $H_0$
نکا	۵۱	۰,۰۰۳	رد فرضیه $H_0$

### نتیجه‌گیری

رودخانه‌های البرز شمالی نیمرخ مقعر هموار نداشته و شکستگی‌های متعددی در نیمرخ طولی آن‌ها وجود دارد. براساس شاخص تقریبی نسبی ( $CI_{rel}$ )، ۲۰ درصد نیمرخ طولی رودهای البرز شمالی شکل محدب ( $CI_{rel} < 0$ )، ۵۳ درصد شکل نسبتاً مستقیم یا تقریبی کم ( $0.2 < CI_{rel} < 0$ )، و ۲۷ درصد تقریبی زیاد داشته‌اند و هیچ رودخانه‌ای شاخص تقریبی بسیار زیاد (بیش از ۰,۵) نداشته است. دره‌های ساختمانی یا طولی، که منطبق بر روند چین خوردگی‌ها هستند و جهت غربی-شرقی دارند، مانند رود نکا، میزان تقریبی آن‌ها کم بوده یا مانند رود نور تقریبی منفی (تحدب) داشته‌اند. در این دره‌ها میزان بالاً‌آمدگی بیش از میزان فرسایی رود بوده و رودخانه نمی‌تواند یک نیمرخ تعادل را ایجاد کند. در حالت دیگر دره‌های عرضی هستند که آب‌های سطحی دامنه‌های شمالی البرز را به دریای خزر تخلیه می‌کنند. این رودها جهت جنوبی-شمالی داشته و برای رسیدن به سطح اساس خود یعنی دریای خزر محور چین‌ها را در جهت عمود بر روند آن‌ها بریده‌اند. میزان تقریبی این رودها هم نسبتاً کم بوده و شکل نیمرخ آن‌ها ناشی از اختلاف ارتفاع زیاد، فاصله کوتاه با سطح اساس (دریای خزر)، و مقاومت لیتولوژیکی است. شکل نیمرخ طولی این رودخانه‌ها به صورت مقعر-محدب با شکستگی‌های زیاد است که غالباً فرایندهای فرسایی رودخانه را نسبت به عامل تکتونیک نشان می‌دهد.

تحلیل شاخص گرادیان طولی رود (SL) در رودخانه‌های البرز شمالی نشان می‌دهد که ۵۳ درصد تغییرات به علت تغییرات لیتولوژیکی ایجاد شده است و ۴۵ درصد شکستگی‌های ایجادشده در نیمرخ طولی رود ناشی از فعالیت گسل‌ها بوده است. مطالعات اسماعیلی و همکاران (۱۳۹۱) در حوضه آبریز واژ (البرز شمالی) و مهرپویان و همکاران (۱۳۹۶) در حوضه آبریز پل رود (البرز شمالی در گیلان) هم نشان‌دهنده اثرهای بیشتر عامل لیتولوژی در نیمرخ طولی رودها بوده است. از کل گسل‌هایی که به صورت عرضی از بستر رودخانه عبور کرده‌اند، ۲۰ درصد آن‌ها توانسته‌اند موجب ایجاد شکستگی در نیمرخ طولی رود شوند که هفتاد درصد آن‌ها در قسمت غربی البرز شمالی قرار گرفته‌اند. مطالعات صابری و همکاران (۱۳۹۵) در منطقه چالوس نشان می‌دهد که بالاً‌آمدگی ناشی از گسل‌های منطقه البرز در طی ۲۲ سال گذشته بسیار ناچیز بوده که این اثر به علت قفل‌شدگی گسل‌های این منطقه است. در خصوص گسل شمالی البرز هم مقدار بالاً‌آمدگی کمتر از ۰,۰۳ میلی‌متر در سال بوده است. از این‌رو، با توجه به نرخ ناچیز بالاً‌آمدگی گسل‌ها در شرایط فعلی، به نظر می‌رسد عمل فرسایش رودخانه‌ای بر آن غلبه کرده و عامل لیتولوژیکی تأثیر بیشتری در نیمرخ طولی رودها بر جای گذاشته است.

## منابع

- اسماعیلی، ر؛ متولی، ص. و حسین‌زاده، م.م. (۱۳۹۱). بررسی اثرات مورفوتکتونیک در نیمرخ طولی رودخانه‌واز؛ البرز شمالی، استان مازندران، فصل نامه پژوهش‌های ژئومورفولوژی کمی، ۳: ۱۰۱-۱۱۴.
- بیاتی خطیبی، م. (۱۳۸۸). تحلیل اثرات فعالیت‌های نئوتکتونیک در نیمرخ طولی رودخانه‌های حوضه قرنقوچای واقع در دامنه‌های شرقی سهند، فصل نامه فضای جغرافیایی، ۷: ۷۹-۱۱۳.
- جمال‌آبادی، ج؛ زنگنه اسدی، م.ع؛ فاتحی، ز. و ریاط سرپوشی، م. (۱۳۹۵). بررسی تأثیر تکتونیک در ویژگی‌های کمی شبکه‌های زهکشی (مطالعه موردی: حوضه‌های بار، بقیع، و قلعه‌میدان در دامنه جنوبی رشته‌کوه بینالود)، پژوهش‌های ژئومورفولوژی کمی، ۱۶: ۸۷-۱۰۳.
- حسین‌زاده، م.م. و اسماعیلی، ر. (۱۳۹۴). ژئومورفولوژی رودخانه‌ای: مفاهیم، اشکال، و فرایندها، تهران: دانشگاه شهید بهشتی.
- درویش‌زاده، ع. (۱۳۷۰). زمین‌شناسی ایران، تهران: امیرکبیر.
- روستایی، ش. و نیری، ه. (۱۳۹۰). تحلیل کمی تأثیر لیتلولوژی و تکتونیک بر پروفیل طولی رودخانه در حوضه آبریز رودخانه مهاباد، فصل نامه جغرافیا و توسعه، ۲۴: ۱۳۷-۱۵۳.
- سیف، ع. و خسروی، ق. (۱۳۸۹). بررسی تکتونیک فعال در قلمرو تراست زاگرس منطقه فارسان، پژوهش‌های جغرافیای طبیعی، ۴۲: ۱۲۵-۱۴۵.
- شیخ‌الاسلامی، م.ر؛ جوادی، ح.ر؛ اسدی سرشار، م.؛ آقادحسینی، ا؛ کوهپیما، م. و وحدتی دانشمند، ب. (۱۳۹۳). دانشنامه گسله‌های ایران، ج ۲، تهران: سازمان زمین‌شناسی و اکتشافات معدنی کشور.
- صابری، ا؛ یساقی، ع؛ جمور، ی. و معدنی‌پور، س. (۱۳۹۵). برآورد تغییرات نرخ برخاستگی با استفاده از ترازیابی دقیق در البرز مرکزی، شمال ایران، پژوهش‌های دانش زمین، ۲۵(۷): ۶۲-۷۴.
- عباسی، م؛ جعفری اقدم، م؛ رضاعلی، ق. و محمدی، ا. (۱۳۹۱). بررسی تکتونیک فعال زاگرس شمال غربی با استفاده از تحلیل شبکه زهکشی رودخانه شواهد ژئومورفولوژیکی و داده‌های GPS (مطالعه موردی: حوضه آبریز رودخانه آسمان‌آباد)، فصل نامه جغرافیای طبیعی، ۱۸: ۵۹-۷۰.
- علائی طلاقانی، م. (۱۳۹۴). ژئومورفولوژی ایران، ج ۹، تهران: قومس.
- قنواتی، ع؛ صفاکیش، ف. و مقصودی، ی. (۱۳۹۶). ارزیابی تکتونیک فعال در زیرحوضه‌های جراحی- زهره بر پایه تحلیل مورفوتکتونیکی و اثرهای آن بر میدان‌های نفتی حوضه مورد مطالعه، پژوهش‌های جغرافیای طبیعی، ۴۹: ۲۲۱-۲۴۰.
- کریمی، ب؛ شرفی، س؛ مقصودی، م؛ کریمی، س. و سلطانی، ش. (۱۳۹۱). بررسی نقش مورفوتکتونیک در فرسایش و تغییرات نیمرخ طولی رودخانه‌ها با استفاده از توابع ریاضی (مطالعه موردی: رودخانه الوند در غرب استان کرمانشاه)، فصل نامه پژوهش‌های فرسایش محیطی، ۲(۶): ۷۳-۹۵.
- کریمی، ه؛ قنواتی، ع؛ یمانی، م. و صفاری، ا. (۱۳۹۵). تأثیر تکتونیک در تغییرات نیمرخ طولی رودخانه‌ها (مطالعه موردی: رودخانه علامرودشت در جنوب استان فارس)، فصل نامه پژوهش‌های ژئومورفولوژی کمی، ۵: ۳۷-۵۲.
- گوارابی، ا. و کیارستمی، ف. (۱۳۹۴). ارزیابی زمین‌ساخت حوضه‌های آبریز با استفاده از اختصاصات ژئومورفولوژیک در قالب الگوی TecDEM (مورد مطالعه: حوضه آبریز رودک در شمال شرق تهران)، پژوهش‌های جغرافیای طبیعی، ۴۷: ۴۶۵-۴۷۹.

گوهري، م؛ تاجبخش، م؛ سربازى، م. و نعيمى قصابيان، س.ن. (۱۳۹۳). بررسى فعالیت‌های تکتونیکی بر ژئومتری رودخانه (مطالعه موردی: رودخانه خرتوت از حوضه آبخیز اترک)، *جغرافیا و مخاطرات محیطی*، ۹: ۴۹-۳۷.

مقصودی، م؛ نویدفر، ا؛ قبیری، م. و رضایی، ع. (۱۳۹۴). تحلیل کمی تأثیر لیتوژوژی و تکتونیک بر نیمرخ طولی رودخانه (مطالعه موردی: رودخانه اوجان چای، فصل نامه پژوهش‌های ژئومورفولوژی کمی، ۴(۱): ۱۱۷-۱۰۴).

مقصودی، م؛ زمان‌زاده، س.م؛ یمانی، م. و حاجی‌زاده، ع. (۱۳۹۶). بررسی تکتونیک فعال حوضه آبریز مارون با استفاده از شاخص‌های ژئومورفیک، فصل نامه پژوهش‌های ژئومورفولوژی کمی، شماره پیاپی ۲۳: ۵۹-۳۷.

مهرپيaban، م؛ جامي، م؛ سرحدi، ن. و پور‌کرمانi، م. (۱۳۹۶). تأثیر فعالیت تکتونیکی بر مورفولوژی نیمرخ طولی رودخانه (مطالعه موردی: رودخانه پل رود (شمال ایران)، فصل نامه جغرافیا و توسعه، ۴۸: ۷۴-۶۳).

Abbasi, M.; Jafari Aghdam, M.; Reza Ali, G. and Mohammadi, A. (2012). Investigation of the Northwest Zagros Active Tectonics Using Geomorphologic Evidence and GPS Data Analysis of the River Drainage Network (Case Study: Acre Abad River Basin), *Journal of Physical Geography*, 5(18): 59-70.

Alaei Taleghani, M. (2015). *Geomorphology of Iran*, Ghomes publication, Ninth edition, Tehran.

Ambili, V. and Narayana, A.C. (2014). Tectonic effeonthelongitudinal profiles of the chaliyar river and its tributaries, southwest india, *Geomorphology*, 217: 37-47.

Antón, L.; Vicente, G.D.; Muñoz-Martín, A. and Stokes, M. (2014). Using river long profiles and geomorphic indices to evaluate the geomorphological signature of continental scale drainage capture, Duero basin (NW Iberia), *Geomorphology*, 206: 250-261.

Bayati Khatibi, M. (2009). Analysis of the effects of neotectonic activities on the longitudinal profile of the rivers of the Qornukuchai basin located in the eastern slopes of Sahand, *Geographic Space*, 27: 79-113.

Darvishzadeh, A. (1991). *Geology of Iran*, Amir Kabir publication, first edition, Tehran.

Esmaili, R.; Motevali, S. and Hoseinzadeh, M.M. (2012). Morphotectonic Effects on the Longitudinal Profile of the River of Waz; North Alborz, Mazandaran Province, *Quantitative Geomorphological Research*, 1(3): 101-114.

Ferraris, F.; Firpo, M. and Pazzaglia, F.G. (2012). DEM analyses and morphotectonic interpretation: The Plio-Quaternary evolution of the eastern-40. Ligurian Alps, Italy, *Geomorphology*, 149-150: 27-40.

Fillips, J.D. and Lutz, J.D. (2008). Profile convexities in bedrock and alluvial streams, *Geomorphology*, 102: 554-566.

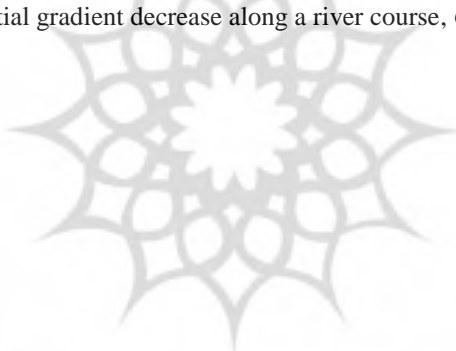
Font, M.; Amorese, D. and Lagarde, J.L. (2010). DEM and GIS analysis of the stream gradient index to evaluate effects of tectonics: The Normandy intraplate area (NW France), *Geomorphology*, 119: 172-180.

Gao, M.; Zeilinger, G.; Xu, X.; Wang, Q. and Hao, M. (2013). DEM and GIS analysis of geomorphic indices for evaluating recent uplift of the northeastern margin of the Tibetan Plateau, China, *Geomorphology*, 190: 61-72.

Ghanavati, E.; Safakish, F. and Maghsoudi, Y. (2017). Evaluation of active tectonics in Jarahi - Zohreh Sub-basins based on the morpho-tectonic analysis and its impacts on the oil fields of the basin, *Physical Geography Research Quarterly*, 49(2): 221-240.

- Giaconia, F.; Booth-Rea, G.; Martínez, J.M.M.; Azañón, J.M.; Pérez-Peña, J.V.; Pérez-Romero, J. and Villegas, I. (2012). Geomorphic evidence of active tectonics in the Sierra Alhamilla (eastern Betics, SE Spain), *Geomorphology*, 145-146: 90-106.
- Gohari, M.; Taj Bakhsh, M.; Sarbazi, M. and Naeimi Ghasabian, S.N. (2014). Investigation of tectonic activity effects on the river channel geometry and hydraulic(A Case Study: KhartutRiver), *Geography and Environmental Hazards*, 3(1): 37-49.
- Goorabi, A. and Kiarostami, F. (2015). Assessment of watershed Tectonics Using Geomorphologic Characteristics in the TecDEM Model, Roodak Basin in North East Tehran, *Physical Geography Research Quarterly*, 47(3): 465-479.
- Hoseinzadeh, M.M. and Esmaili, R. (2015). *Fluvial geomorphology, concepts, landforms and process*, Shahid Beheshti University, First edition, Tehran.
- Jamal Abadi, J.; Zangeneh Asadi, M.A.; Fatehi, Z. and Robat Sarpoushi, M. (2018). Evaluation of Tectonic features little effect on drainage networks (Case Study: Basins Bar, Baqi and ghaleh meidan at southern slopes of mountains Binalu), *Quantitative Geomorphological Research*, 4(4): 87-103.
- Kale, V.S.; Sengupta, S.; Achyuthan, H. and Jaiswal, M.K. (2013). Tectonic controls upon Kaveri River drainage, cratonic Peninsular India: Inferences from longitudinal profiles, morphotectonic indices, hanging valleys and fluvial records, *Geomorphology*, 227: 153-165.
- Karimi, B.; Sharifi, S.; maghsodi, M.; Karimi, S. and Soltani, S. (2012). The effect of morphotectonic factors on erosion and change of longitudinal profile of river using the mathematical functions (Case - Study: Alvand River in the West Kermanshah Province), *Environmental Erosion Research*, 2(2): 73-95.
- Karimi, H.; Ghnavati, E.; Yamani, M. and Safari, A. (2018). The Effects of morphotectonic on the changes of rivers profile (Case study: Alamarvdasht River, South of Fars Province, Iran), *Quantitative Geomorphological Research*, 5(2): 37-52.
- Larue, J.P. (2008). Effects of tectonics and lithology on long profiles of 16 rivers of the southern Central Massif border between the Aude and the Orb (France), *Geomorphology*, 93: 343-367.
- Maghsoodi, M.; Navidfar, A.; Ghnbari, M. and Rezaei, A. (2015). Quantitative Analysis of the Effect of Lithology and Tectonic on the Longitudinal Profile of the River Case Study: Ojan Chi River, *Quantitative Geomorphological Research*, 4(1): 104-117.
- Maghsoodi, M.; Zamanzadeh, S.M.; Yamani, M. and Hajizadeh, A. (2018). Assessment of tectonic of Maroon River catchment using geomorphic indices and improved the indices relations, *Quantitative Geomorphological Research*, 6(3): 37-59.
- Martins, A.A.; Cabral, J.; Cunha, P.P.; Stokes, M.; Borges, J.; Caldeira, B. and Martins, C. (2017). Tectonic and lithological controls on fluvial landscape development in central-eastern Portugal: Insights from long profile tributary stream analyses, *Geomorphology*, 276: 144-163.
- Mehrpoyan, M.; Jami, M.; Sarhaddi, N. and Pourkermani, M. (2017). The Impact of Tectonic Activity on the Morphology of Longitudinal Profiles of the River Case Study: Polrood River (North of Iran), *Geography and Development Iranian Journal*, 15(48): 213-230.
- Pedrera, A.; Pérez-Peña, J.V.; Galindo-Zaldívar, J.; Azañón, J.M. and Azor, A. (2009). Testing the sensitivity of geomorphic indices in areas of low-rate active folding (eastern Betic Cordillera, Spain), *Geomorphology*, 105: 218-231.
- Pérez-Peña, J.V.; Azañón, J.M.; Azor, A.; Delgado, J. and González-Lodeiro, F. (2010). Spatial analysis of stream power using GIS: SLk anomaly maps, *Earth Surf. Process. Landforms*, 34: 16-25.

- Rostaee, Sh. and Nayeri, H. (2011). Quantitative Analysis of the Effect of Lithology and Tectonic on the Longitudinal Profile of the River in the Mahabad River Basin, *Geography and Development Iranian Journal*, 9(24): 137-153.
- Saberi, A.; Yasaghi, A.; Jomor, Y. and Madani Pour, S. (2016). Estimation of Rising Rate Changes Using Precise Adjustment in Central Alborz, *Northern Iran, Earth science Research*, 7(1): 62-74.
- Seif, A. and Khosravi, G. (2011). Investigation of Active Tectonics in Zagros Thrust Belt Farsan Region, *Physical Geography Research*, 42(4): 125-145.
- Sheykholeslami, M.; Javadi, H.R.; Asadi Sarshar, M.; Agha Hoseini, A.; Kouh Peyma, M. and Vahdati Daneshmand, B. (2014). *Iran Faults Encyclopedia*, Research Institute for Earth Sciences, Rahi publication, first edition, Tehran.
- Troiani, F. and Della Setta, M. (2008). The use of the Stream Length–Gradient index in morphotectonic analysis of small catchments: A case study from Central Italy, *Geomorphology*, 102: 159-168.
- Vikrant Jain, S. (2018). Geomorphic effectiveness of a long profile shape and the role of inherent geological controls in the Himalayan hinterland area of the Ganga River basin, India, *Geomorphology*, 304: 15-29.
- Vojtko, R.; Petro, L.; Benová, A.; Bóna, J. and Hók, J. (2012). Neotectonic evolution of the northern Laborec drainage basin (northeastern part of Slovakia), *Geomorphology*, 138: 276-294.
- Zibret, G. and Zibret, P. (2017). River gradient anomalies reveal recent tectonic movements when assuming an exponential gradient decrease along a river course, *Geomorphology*, 281: 43-52.



پژوهشگاه علوم انسانی و مطالعات فرهنگی  
پرستال جامع علوم انسانی